

## Fly-wheel을 갖는 권선형 유도전동기의 2차 여자제어시스템

°오성업\*, 김민태\*, 신기택\*\*, 최태식\*\*, 성세진\*

충남대학교\*, 대전기능대학\*\*

## The 2nd Excitation Control System of Wound-Rotor Induction Motor with Fly-wheel

°Sung-Up Oh\*, Min-Tae Kim\*, Ki-Tack Shin\*\*, Tae-Sik Choi\*\*, Se-Jin Seong\*

Chungnam National Univ.\*, Taejon Polytechnic College\*\*

### Abstract

This paper presents the 2nd excitation control of the wound-rotor induction motor with Fly-wheel.

In the wound-rotor induction motor, the primary power is controlled by AC excitation which used the secondary power conversion.

Based on theory, this paper describes the dynamic response analysis of the wound-rotor induction motor with Fly-wheel and Simulation using MATLAB is performed to verify the proposed control method.

### 1. 서 론

최근 산업계의 펄스성 전력수요는 산업규모의 확대 및 자기부상식 철도, 핵융합 실험장치 등 새로운 전력응용분야가 확대되면서 점점 증가하고 있으며, 이로 이한 계통의 동요 및 양질의 전력유지에 심각한 영향을 끼치고 있다.

종래에는 부하축에서 발생하는 장해전력이 계통에 영향을 끼치지 못하도록 역율을 개선한다던지, 전동기의 기동전류를 억제하기 위해 기동장치를 설치하는 등 많은 노력을 기울여 왔다.

최근에는 Fly-wheel이나, SMES(초전도 전력저장) 등 전력저장 요소를 이용한 전력보상이 기술적으로 가능하게 되어 유효·무효전력을 동시에 보상하는 방식이 몇 가지 제안되어 연구되고 있다.

Fly-wheel은 유효전력의 평준화와 변동주기가 수초~수십초로 비교적 짧은 주기의 전력보상에 적합하다는 장점이 있으며, SMES 이상의 대용량화도 가능하기 때문에, 본 논문에서는 Fly-wheel을 에너지 저

장요소로 하고, 역률과 불평형부하, Flicker 등의 장해전력을 보상하기 위해 권선형 유도전동기를 이용한 시스템을 통하여, 이의 제어방법에 대해 검토한다.

권선형 유도전동기(Wound rotor Induction Motor)는 2차(회전자)측에서의 전력변환으로 교류여자하여 1차(고정자)측의 전력을 제어할 수 있고, Fly-wheel에 의한 유효전력보상이 가능하다는 점에서 동기전동기보다 유리하다.

본 논문에서는 Fly-wheel을 갖는 권선형 유도전동기의 2차 여자 제어법을 제안하고, 과도응답을 이론적으로 해석한다. 이를 토대로 MATLAB을 이용한 시뮬레이션에 의해 이론의 타당성을 확인한다.

### 2. 시스템 구성

그림 1은 본 논문에 사용된 좌표계를 나타낸다. 2상의 고정자좌표(정지좌표)를  $\alpha - \beta$ 좌표, 회전자 각속도  $\omega_m = d\theta_m/dt$ 로 회전하는 좌표를  $d - q$ 좌표로 하고, 전원각속도  $\omega = d\theta/dt$ 로 회전하는 좌표를  $\gamma - \delta$ 좌표로 한다.

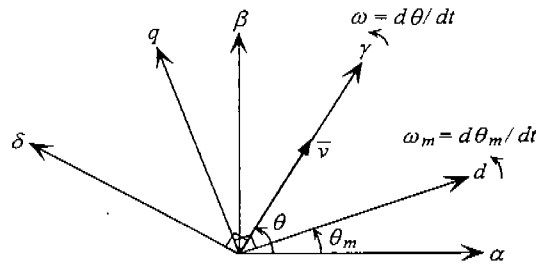


그림 1. 정지좌표계와 회전좌표계

그림 1에 표시된 것처럼, 1차전압 벡터  $\bar{v}_1$ 의 정방향을  $\gamma$ 축에 일치시키면, 1차전류  $i_{\gamma 1}$ 과  $i_{\beta 1}$ 은 순시유효전류  $i_p$ 와 순시무효전류  $i_q$  ( $i_p = i_{\gamma 1}$ ,  $i_q = i_{\beta 1}$ )에 대응된다.

그림 2는 권선형 유도전동기를 이용한 시스템의 구성을 나타낸다. 시스템의 본체는 권선형 유도전동기이고, 1차측을 60Hz의 전력계통에 접속한다. 전압형 PWM 인버터를 사용하여 2차측을 교류여자하여, 시스템에 유입·유출되는 유효전력과 무효전력을 독립적으로 제어할 수 있다.

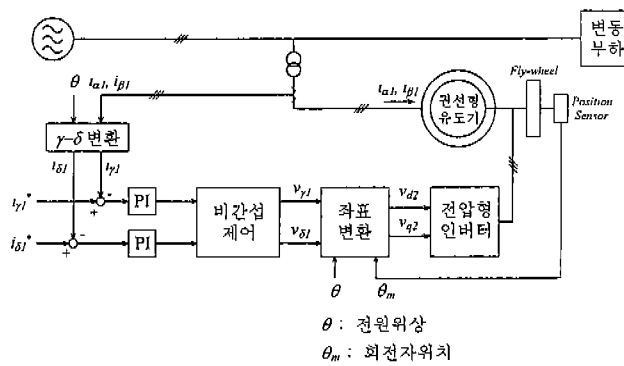


그림 2. 시스템 구성도

그림 2의 권선형 유도전동기는 간소화를 위해  $\alpha-\beta$ 변환을 적용한 2상 유도전동기로 가정하였다.

전원위상  $\theta$ 와 1차전류  $i_{\alpha 1}$ ,  $i_{\beta 1}$ 을 검출하여  $\gamma-\delta$ 좌표상의  $i_{\gamma 1}$ 과  $i_{\beta 1}$ 으로 변환한다. 이것들과 지령전류  $i_{\gamma 1}^*$ 과  $i_{\beta 1}^*$ 을 비교하여 PI제어를 행한다. 1차전압  $v_{\gamma 1}$ 과  $v_{\beta 1}$ , 1차전류  $i_{\gamma 1}$ 과  $i_{\beta 1}$ , 2차전류  $i_{\gamma 2}$ 와  $i_{\beta 2}$ , 회전자 각속도  $\omega_m$ 의 검출값을 가지고, 비간섭제어를 적용하여,  $\gamma-\delta$ 좌표상의 2차전압지령  $v_{\gamma 2}$ 와  $v_{\beta 2}$ 를 얻는다.

회전자위치  $\theta_m$ 과 전원위상  $\theta$ 는

$$\begin{bmatrix} v_{\alpha 2} \\ v_{\beta 2} \end{bmatrix} = \begin{bmatrix} \cos(\theta - \theta_m) & -\sin(\theta - \theta_m) \\ \sin(\theta - \theta_m) & \cos(\theta - \theta_m) \end{bmatrix} \begin{bmatrix} v_{\gamma 2} \\ v_{\beta 2} \end{bmatrix} \quad (1)$$

$d-q$ 좌표상의 2차 지령전압  $v_{\alpha 2}$ 와  $v_{\beta 2}$ 로 변환하여, PWM 패턴을 결정한다. 본 논문은 권선형 유도전동기의 1차전류  $i_{\alpha 1}$ ,  $i_{\beta 1}$  ( $i_{\gamma 1}$ ,  $i_{\beta 1}$ )의 제어법과 과도특성을 연구대상으로 하므로, PWM 인버터의 직류측은 전압원으로 한다. 본 논문의 이론해석에서는 PWM 인버터를 이상적인 전압제어 전압원으로 가정하였다.

### 3. 교류여자시스템 제어법

본 절에서는 시스템의 제어법으로 비간섭벡터제어를 제안한다. 벡터제어를 기본으로 하는 권선형 유도전동기의 비간섭제어는  $\gamma-\delta$ 좌표상에서 검토한다. 권선형 유도전동기의  $\gamma-\delta$ 좌표상에서의 전압·전류 방정식은 다음식으로 주어진다.

$$\begin{bmatrix} v_{\gamma 1} \\ v_{\beta 1} \\ v_{\alpha 1} \\ v_{\beta 2} \end{bmatrix} = \begin{bmatrix} r_1 + pL_1 & -\omega L_1 & pM & -\omega M \\ \omega L_1 & r_1 + pL_1 & \omega M & pM \\ pM & -(\omega - \omega_m)M & r_2 + pL_2 & -(\omega - \omega_m)L_2 \\ (\omega - \omega_m)M & pM & (\omega - \omega_m)L_2 & r_2 + pL_2 \end{bmatrix} \begin{bmatrix} i_{\gamma 1} \\ i_{\beta 1} \\ i_{\alpha 1} \\ i_{\beta 2} \end{bmatrix} \quad (2)$$

여기서,  $p = \frac{d}{dt}$  : 미분연산자

(2)식의 1행과 3행의 식에서  $pi_{\beta 2}$ 를 2행과 4행의 식에서  $pi_{\alpha 2}$ 를 소거하면 다음 식이 얻어진다.

$$\begin{bmatrix} pi_{\gamma 1} \\ pi_{\beta 1} \end{bmatrix} = \begin{bmatrix} \frac{L_2}{M} v_{\gamma 1} - \frac{L_2 r_1}{M} i_{\gamma 1} + r_2 i_{\beta 2} + lwi_{\beta 1} + \omega_m(Mi_{\beta 1} + L_2 i_{\beta 2}) - v_{\beta 2} \\ \frac{L_2}{M} v_{\beta 1} - \frac{L_2 r_1}{M} i_{\beta 1} + r_2 i_{\gamma 2} + lwi_{\gamma 1} + \omega_m(Mi_{\gamma 1} + L_2 i_{\gamma 2}) - v_{\gamma 2} \end{bmatrix} \quad (3)$$

$$l = (L_1 L_2 - M^2)/M \quad (4)$$

시스템의 제어대상은  $i_{\gamma 1}$ 과  $i_{\beta 1}$ 이고, 조작량은  $v_{\beta 2}$ 와  $v_{\alpha 2}$ 이다. 그러므로,  $v_{\beta 2}$ 과  $v_{\alpha 2}$ 를 다음 식과 같이 나타낼 수 있다.

$$\begin{bmatrix} v_{\beta 2} \\ v_{\alpha 2} \end{bmatrix} = \begin{bmatrix} \frac{L_2}{M} v_{\gamma 1} - \frac{L_2 r_1}{M} i_{\gamma 1} + r_2 i_{\beta 2} + lwi_{\beta 1} + \omega_m(Mi_{\beta 1} + L_2 i_{\beta 2}) - K(i_{\gamma 1}^* - i_{\gamma 1}) \\ \frac{L_2}{M} v_{\beta 1} - \frac{L_2 r_1}{M} i_{\beta 1} + r_2 i_{\gamma 2} + lwi_{\gamma 1} + \omega_m(Mi_{\gamma 1} + L_2 i_{\gamma 2}) - K(i_{\beta 1}^* - i_{\beta 1}) \end{bmatrix} \quad (5)$$

(5)식의 우변 제1~5항이 비간섭이다. 권선형 유도전동기에서는  $\gamma-\delta$ 좌표상의 1차전압  $v_{\gamma 1}$ ,  $v_{\beta 1}$ 과 1차전류  $i_{\gamma 1}$ ,  $i_{\beta 1}$ 을 가해서 2차전류  $i_{\gamma 2}$ ,  $i_{\beta 2}$ 도 쉽게 검출할 수 있다.

이것들의 전압·전류검출값, 회전자 각속도  $\omega_m$ 의 검출값과 시스템의 정수를 이용하여 간섭항을 연산하여 보상한다. 한편, 제6항은 1차전류  $i_{\gamma 1}$ 과  $i_{\beta 1}$ 의 피드백제어를 행하기 위한 조작량이고, K는 비례 gain이다.

$d-q$ 좌표상에서 2차전류의 피드백제어시스템을 구성하여, 2차전류  $i_{\alpha 2}$ ,  $i_{\beta 2}$ 를 검출한 후 피드백 시켜, 2차전류지령과 대조시켜서 2차전압(조작량)  $v_{\alpha 2}$ ,  $v_{\beta 2}$ 를 결정하였다. 이것에 대해서 본 논문에서는  $\gamma-\delta$ 좌표상에서 1차 전류의 피드백제어시스템을 구성하였다.

(5)식의  $v_{\gamma 2}$ ,  $v_{\delta 2}$ 를 (3)식에 대입하여 정리하면 다음 식을 얻을 수 있다.

$$\begin{bmatrix} lpi_{\gamma 1} \\ lpi_{\delta 1} \end{bmatrix} = \frac{K}{l} \begin{bmatrix} (i_{\gamma 1}^* - i_{\gamma 1}) \\ (i_{\delta 1}^* - i_{\delta 1}) \end{bmatrix} \quad (6)$$

(6)식의 양변을 라플라스 변환을 이용하여 변형하면,

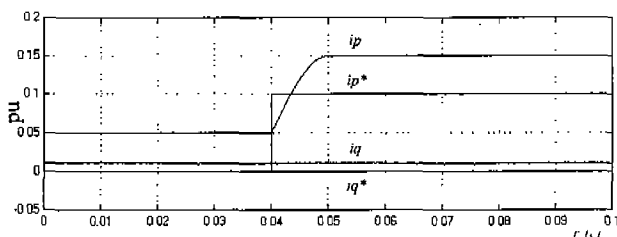
$$\begin{bmatrix} I_{\gamma 1}(s) \\ I_{\delta 1}(s) \end{bmatrix} = \begin{bmatrix} \frac{1}{1+sT} I_{\gamma 1}^*(s) \\ \frac{1}{1+sT} I_{\delta 1}^*(s) \end{bmatrix} \quad (7)$$

단,  $T = l/K$  ( $T$  :  $i_{\gamma 1}$ ,  $i_{\delta 1}$ 의 응답시정수)

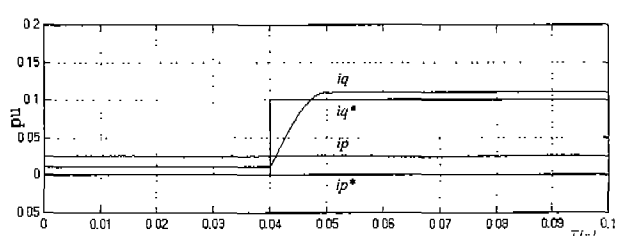
1차 시스템으로 되고, 그 위에  $i_{\gamma 1}$ ,  $i_{\delta 1}$ 의 비간섭화를 실현하였다. 시스템의 파라메터가 변동하면, (5)식의 보상항에 오차가 발생한다. 피드백 제어시스템이 P제어인 경우에는 1차전류  $i_{p1}$ ,  $i_{q1}$ 에 정상편차를 만든다.

본 논문에서는 1차와 2차의 누설 인덕턴스는 변하지 않는다고 가정하고, 상호 인덕턴스  $M$ 이 변동한 경우를 검토한다.

정상편차를 보상하기 위하여 제어시스템을 PI제어로 변경하여 시뮬레이션을 행하였다.

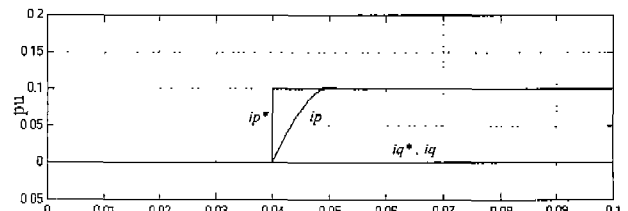


(a)  $i_p^*$ 의 스텝응답

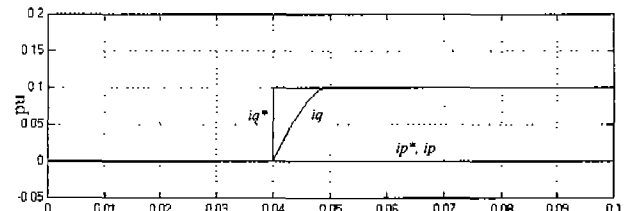


(b)  $i_q^*$ 의 스텝응답

그림 3. P제어일 때의 스텝응답 파형



(a)  $i_p^*$ 의 스텝응답



(b)  $i_q^*$ 의 스텝응답

그림 4. PI제어일 때의 스텝응답 파형

그림 3과 4는 상호인덕턴스  $M$ 이 5% 감소한 경우  $i_p^*$ 의 스텝응답 ( $i_q^*=0$ )과  $i_q^*$ 의 스텝응답 ( $i_p^*=0$ )을 P제어와 PI제어를 적용하였을 때의 시뮬레이션 과정을 나타낸다. 그림 3에서는 정상편차가 나타나는데, 그림 4에서는 정상편차가 거의 나타나지 않는다.

#### 4. 권선형 유도전동기의 여자전류

1차(고정자)와 2차(회전자)의 전압, 전류, 자속의 순시값을 그림 2의  $\alpha-\beta$  좌표상에서 관측하여 열벡터를 이용해서 권선형 유도기의 전압·전류방정식을 나타내면 다음과 같이 된다.

$$\begin{bmatrix} \bar{v}_1 \\ \bar{v}_2 \end{bmatrix} = \begin{bmatrix} r_1 + pL_1 & pM \\ pM - J\omega_m M & r_2 + pL_2 - J\omega_m L_2 \end{bmatrix} \begin{bmatrix} \bar{i}_1 \\ \bar{i}_2 \end{bmatrix} \quad (8)$$

$$\bar{v}_1 = [v_{\alpha 1}, v_{\beta 1}]^t, \bar{v}_2 = [v_{\alpha 2}, v_{\beta 2}]^t$$

$$\bar{i}_1 = [i_{\alpha 1}, i_{\beta 1}]^t, \bar{i}_2 = [i_{\alpha 2}, i_{\beta 2}]^t$$

$$\bar{J} = \begin{bmatrix} 0 & -1 \\ 1 & 0 \end{bmatrix} \quad (9)$$

여기서, (8)식의 2행은

$$\bar{v}_2 = pM\bar{i}_1 + pL_2\bar{i}_2 + \gamma_2\bar{i}_2 - J\omega_m \times (M\bar{i}_1 + L_2\bar{i}_2) \quad (10)$$

으로 되고, (10)식의 우변 4항은 속도기전력에 해당하는 항이므로, 이것을  $\bar{v}_e$ 를 이용하여

$$\bar{v}_e = -\bar{J}\omega_m \times (M\bar{i}_1 + L_2\bar{i}_2)$$

$$(11) \quad \bar{v}_1 = p\bar{\psi}_1 = L_1 p \bar{i}_0$$

로 한다. 여기서,  $\times$ 는 벡터적을 나타낸다. 다음에,  $\bar{v}_2$  와  $\bar{i}_2$  를 다음 식으로 정의한다.

$$\bar{v}_2 = \frac{L_1}{M} (\bar{v}_2 - \bar{v}_e - \gamma_2 \bar{i}_2)$$

$$(12) \quad \bar{i}_2 = \frac{M}{L_1} \bar{i}_2$$

위 식을 (8)식에 대입하여 정리하면,

$$\bar{v}_1 = L_1 p (\bar{i}_1 + \bar{i}_2) + \gamma_1 \bar{i}_1$$

$$(14) \quad O_1 p (\bar{i}_1 + \bar{i}_2) - \bar{v}_2 = \left(\frac{L_1}{M}\right)^2 \frac{L_1 L_2 - M^2}{L_1} p \bar{i}_2$$

$$(15) \quad \bar{v}_2 = L_1 p \bar{i}_1 + \left(\frac{L_1}{M}\right)^2 L_2 p \bar{i}_2$$

로 된다.

그림 5는 (8)~(16)식에서 도출한 등가회로이고, 이것은 과도시에 대해서도 적용할 수 있다. 여기서, 1차 측과 2차 측을  $L_1 / M : 1$ 의 이상변압기로 결합하면,

$\bar{v}_e$ 는 속도기전력에 상당하는 전압원이다. 또,  $L_1$ 은 1차 자기인덕턴스,  $(L_1/M)^2(L_1 L_2 - M^2)/L_1$ 은 1차와 2차 누설리액턴스를 1차측으로 환산한 등가 누설리액턴스이다. 그림에서  $\bar{i}_0$ 는 1차 쇄교자속에 상당하는 여자전류이다.

간략화를 위해서, 1차와 2차 권선저항  $r_1$ 과  $r_2$ 를 무시한다. 권선형 유도전동기의 자속은 다음식으로 주어진다.

$$\begin{bmatrix} \bar{\psi}_1 \\ \bar{\psi}_2 \end{bmatrix} = \begin{bmatrix} L_1 & M \\ M & L_2 \end{bmatrix} \begin{bmatrix} \bar{i}_1 \\ \bar{i}_2 \end{bmatrix}$$

(17)식에 의해, 1차 쇄교자속  $\bar{\psi}_1$  은

$$\bar{\psi}_1 = L_1 \bar{i}_1 + M \bar{i}_2$$

로 되고, (18)식에 (13)식을 대입하면,

$$\bar{\psi}_1 = L_1 (\bar{i}_1 + \bar{i}_2) = L_1 \bar{i}_0$$

로 되고,  $\bar{i}_0$ 는 1차 쇄교자속에 상당하는 여자전류이다. 또, 1차전류  $\bar{v}_1$  은

로 되고,  $\bar{i}_0$ 는 1차전압  $\bar{v}_1$ 에서 정해지는 전기량이다.

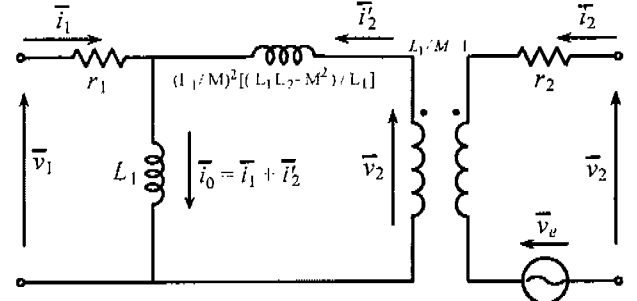


그림 5. 권선형 유도전동기의 등가회로

$\bar{\psi}_1$ 은  $\bar{v}_1$ 으로부터 정해지고,  $\bar{i}_1$ 은 제어대상으로부터 정해진 전기량이고,  $\bar{\psi}_g$ 는 1차 전압과 1차전류만으로 정해진 전기량이다. 따라서, 유효전력의 평활화와 무효전력의 보상을 목적으로 하는 시스템의  $\bar{i}_g$ 는 종속변수로 되기 때문에,  $\bar{i}_g$ 를 직접제어한다는 것은 가능하지 않다.

## 5. 시뮬레이션

본 논문의 제어시스템은 PI제어로 하여,  $i_p$ 와  $i_q$ 의 응답시정수 T와 gain K를 설정하였다. 3상 전압형 PWM 인버터의 캐리어 주파수는 1kHz, 인버터의 직류전압은 0.2pu로 했다.

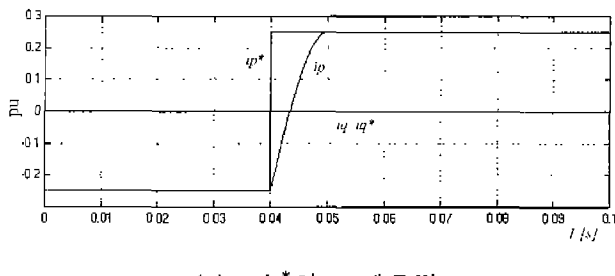
본 논문에서는 3상 6극 2.2kW의 권선형 유도전동기를 모델로 시뮬레이션을 행하였다.

피드백 제어시스템의 과도응답을 스텝응답에서 평가하는 경우, 스텝 폭을 크게 설정하면 시스템이 포화되고, 그 포화값이 과도응답을 지배하게 되어, 제어 시스템 고유의 과도응답을 평가할 수 없다.

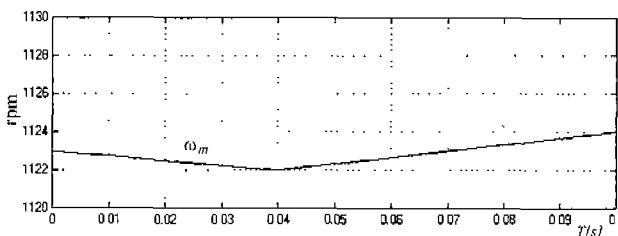
그래서 그림 6의 시뮬레이션에서는 인버터의 출력전압이 포화되지 않도록  $i_p^*$ 과  $i_q^*$ 의 스텝 변화폭을  $\pm 0.25\text{pu}$ 로 하였다.

$i_p$ 와  $i_q$ 의 응답시정수는 3.3ms이고,  $i_p$ 와  $i_q$ 의 비간섭제어가 유효하게 작용되어지는 것을 알 수 있다.

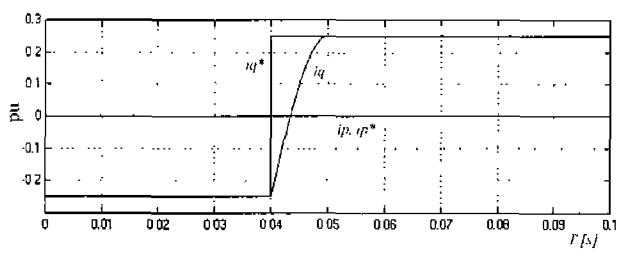
권선형 유도전동기의 회전수  $\omega_m$ 은 (b)의 경우는 순시유효전류  $i_p$ 의 입출력에 응답하여 변화되고, (d)의 경우는  $i_p = 0$  이므로  $\omega_m$ 은 일정하다.



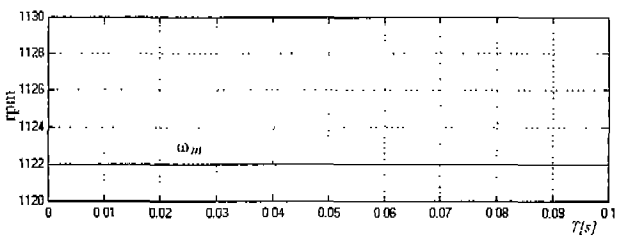
(a)  $i_p^*$ 의 스텝응답



(b) 속도응답



(c)  $i_q^*$ 의 스텝응답



(d) 속도응답

그림 6. 인버터의 스위칭동작을 고려한 경우의  
과도응답

다.

본 시스템은 급속 충방전을 반복하는 것이 가능한 에너지 저장시스템이고, 현재 운전중의 계통주파수변동억제장치로서, 주기가 수초~1분정도의 전력평활화를 목적으로 한 에너지저장 시스템으로 실용화가 기대되어진다.

앞으로 이론해석과 시뮬레이션의 결과를 토대로, 시스템의 제어를 실험을 통하여 확인해 나아갈 예정이다.

이 논문은 1998년도 한국과학재단 특정연구비에  
의하여 연구되었음.

## 참고문헌

- [1] A. E. Fitzgerald et. al, *Electric Machinery*, McGraw-Hill, Inc., 1991
- [2] Min Ho Park, *Induction Machines*, Dongmyung-sa, 1969
- [3] T. Sato et. al, "Wind Power System using a Wound Rotor Induction Machine", T. IEE of Japan, Vol. 114-D, No. 7/8, PP. 778-783, 1994
- [4] R. Shimada et. al, "Fast Response Power Stabilizer using the AC-Excited Flywheel Generator", T. IEE of Japan, Vol. 113-D, No. 11, PP.1254-1261, 1993
- [5] I. Takahashi, M. Nishitoba, "Universal Power Distortion Compensator using Secondary Excitation of a Rotating Machine", T. IEE of Japan, Vol. 107-B, No. 2, PP. 73-80. 1987

## 6. 결 론

본 논문에서는, 유효전력의 평활화와 무효전력의 보상을 목적으로 한 Fly-wheel을 갖는 권선형 유도전동기의 제어법과 과도응답에 대하여, 이론해석과 MATLAB을 이용한 시뮬레이션을 통하여 검토하였